

Л. В. ДУБОВОЙ, Ю. Е. НЕСТЕРИХИН

К ГЕНЕРАЦИИ СВЕРХБЫСТРЫХ СГУСТКОВ ПЛАЗМЫ  
В УСКОРИТЕЛЯХ РЕЛЬСОТРОННОГО ТИПА

(Представлено академиком С. А. Христиановичем 31 X 1963)

Несмотря на значительные успехи, достигнутые в области электродинамического ускорения плазменных сгустков, большинство описанных к настоящему времени конструкций<sup>(1-3)</sup> позволяет сообщать плазме скорости, не превышающие  $0,1 - 1,0 \cdot 10^6$  м/сек, однако для опытов с инжекцией плазмы в магнитные ловушки, например, желательны скорости порядка  $10^6 - 10^7$  м/сек.

В соответствии с теорией<sup>(4)</sup> для заданных размеров конденсаторной батареи питания ускорителя и его оптимальной конструкции увеличение скорости плазменных сгустков может быть достигнуто за счет уменьшения массы ускоряемого вещества. Однако, как показывает опыт, при этом возникает ряд специфических трудностей технического характера, связанных с процессом создания плазменного сгустка, предназначенного для дальнейшего ускорения, который должен обладать резко очерченными границами и достаточно высокой проводимостью при сравнительно низкой концентрации исходных нейтральных частиц.

В связи с предварительными исследованиями ионизации газов при пониженных давлениях в процессе конструирования системы было признано целесообразным отказаться от общепринятой схемы инжекции ускоряемого вещества в виде нейтралов, когда функции ионизации и ускорения возлагаются на один и тот же ток. В описываемых опытах в ускоритель впрыскивалась высокоионизованная плазма, создававшаяся вне пространства ускорения.

На рис. 1 приведено схематическое изображение установки с разрядниками и батареей конденсаторов. Длина  $l$  коаксиальных электродов равна 0,9 м, их диаметры 0,06 и 0,1 м соответственно. Собственная индуктивность  $L_0$  батареи с разрядником при емкости  $C = 48 \mu\text{F}$  не превышала  $35 \cdot 10^{-9}$  гн. Вакуумный разрядник позволял производить коммутацию батареи в диапазоне напряжений 1—50 кв за времена, меньше 50 нсек. Имевшийся в установке разрядник для закорачивания батареи в описываемых опытах не применялся.

Конструкция плазменного источника аналогична<sup>(5)</sup>. Нормальная работа источника обеспечивалась разрядом малоиндуктивного конденсатора емкостью 17  $\mu\text{F}$ . Разрядный ток через источник имел форму апериодического импульса длительностью 2,5 нсек. Изменение тока разряда от 25 до 200 ка позволяло менять количество инжектируемых в ускоритель частиц примерно от 1 до 60  $\mu\text{g}$ . Состав плазмы — высокоионизованные продукты испарения поверхности изоляционного вкладыша источника, изготовленного из оргстекла. Измеренный методом задерживающего потенциала<sup>(6)</sup> спектр частиц в инжектируемой плазме соответствует средней энергии электронов и ионов 10—15 эв. Расчетное значение кулоновской проводимости плазмы обеспечивает незначительную диффузию ускоряющего токового слоя в сгустке в течение всего времени его движения вдоль коаксиала.

Инжекция плазмы осуществлялась в 30 см от разделительного изолятора коаксиала. Измеренная скорость распространения фронта инжектируемой плазмы от места впуска равнялась  $5 \cdot 10^6$  м/сек и слабо зависела от режима

источника. Момент включения основного разрядника после срабатывания системы напуска плазмы определялся экспериментально по максимуму скорости сгустка на выходе из ускорителя. Найденное в опытах оптимальное время задержки совпадает с временем, необходимым для распространения фронта инжектируемой плазмы от места впуска до точки, удаленной от него на 25 см. Скорость движения сгустков в ускорителе и пространствен-

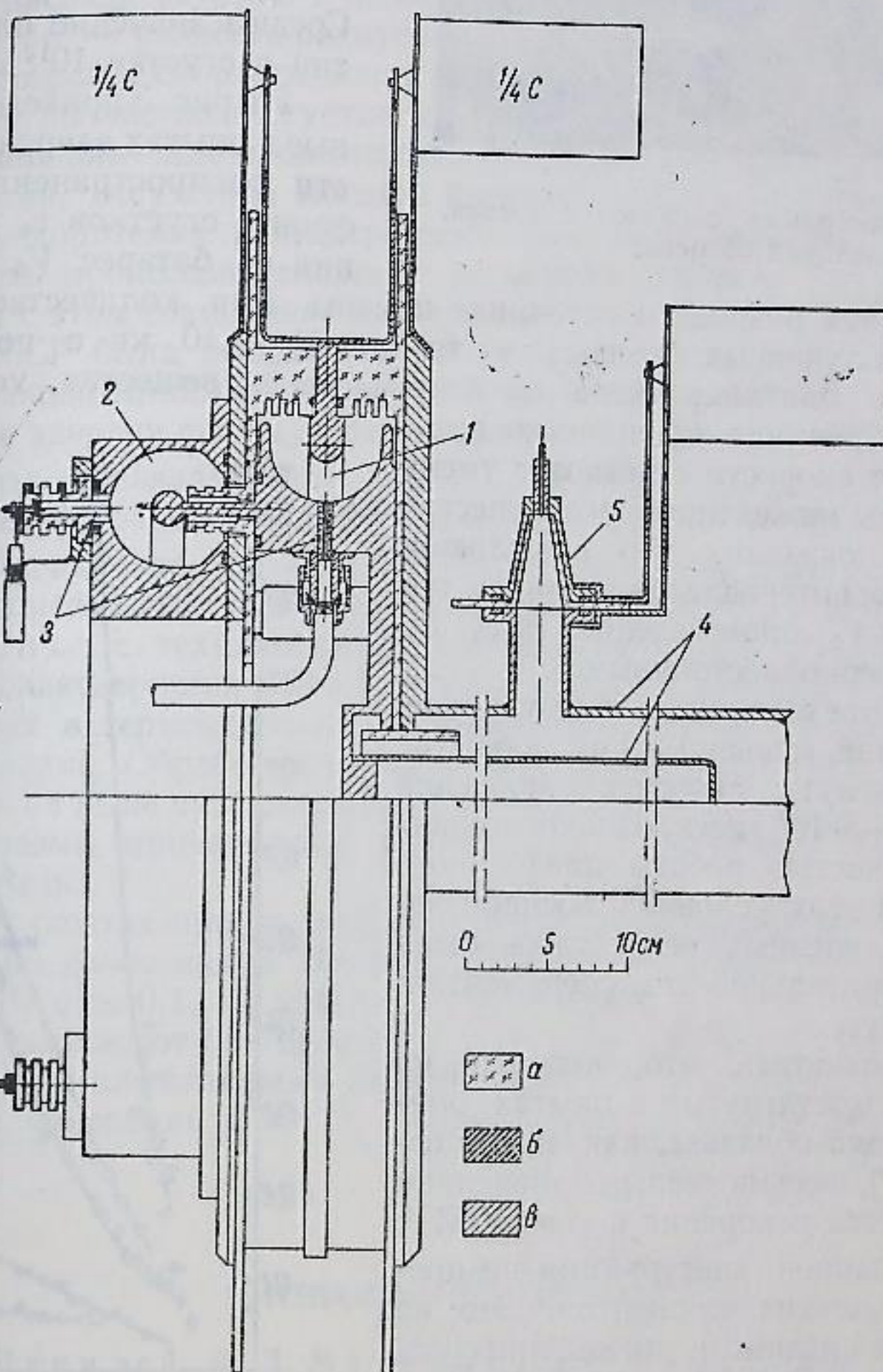


Рис. 1. Схема установки. 1 — основной разрядник, 2 — разрядник закорачивания тока батареи, 3 — поджигающие электроды, 4 — электроды пушки, 5 — плазменный источник. а — оргстекло, б — резина, в — металл

ное распределение в них плотности определялось с помощью зондов направленного потока частиц<sup>(7)</sup>, зондов Лэнгмюра и магнитных зондов.

Как выяснилось в процессе наладки ускорителя, оптимальные условия работы конструкции весьма критичны к пространственному распределению инжектируемой в ускоритель плазмы в момент времени, непосредственно preceding включению основной батареи. Стабильная работа ускорителя обеспечивалась лишь для случая резко очерченного токонесущего торца сгустка. Измеренная в опытах толщина диффузационного слоя торца, определяемая как расстояние, на котором происходит 10-кратный спад плотности заряженных частиц в инжектируемом сгустке от максимального значения, для случая хорошо отложенной системы не превышала 3—5 см при средней длине однородной части 30 см.

На рис. 2 приведены осциллограммы сигналов с пары зондов, расположенных за выходом ускорителя на расстоянии 68 см друг от друга. Амплитуда сигнала пропорциональна концентрации частиц в густке, характерно слабое расплывание продольных размеров плазменного образования, свидетельствующее о малом разбросе продольной компоненты скоростей частиц. Среднее значение плотности частиц в густке  $10^{14} \text{ см}^{-3}$ .



Рис. 2. Осциллограмма сигналов с зондов. 1 дел. = 1,65  $\mu\text{сек}$ .

значениях тока разряда в источнике плазмы. Для количественной характеристики полученных кривых в точках  $V_6 = 10$  кв с помощью баллистического маятника была оценена масса  $m_0$  вещества, ускоренного в густке. Из рисунка виден четко выраженный рост скорости густков с уменьшением массы инжектируемого вещества. Измерения показали, что в условиях опыта во всем интервале изменений  $m_0$  при неизменном  $V_6$  произведение  $m_0 v_0$  остается примерно постоянным.

При работе с количествами ускоряемого вещества, меньшими 1  $\mu\text{г}$ , в опытах были достигнуты скорости движения густков  $3-5 \cdot 10^6 \text{ м/сек}$ , однако в связи с нестабильностью работы плазменного источника в этих условиях воспроизводимость полученных результатов была неудовлетворительной от эксперимента к эксперименту.

Следует отметить, что, несмотря на большие  $v_0$ , достигнутые в опытах, описанная система обладает, как и все остальные (1-4), весьма малым значением К.П.Д. процесса ускорения  $\eta = m_0 v_0^2 / C V_6^2$ , который в данной конструкции не превышал нескольких процентов. Это не является неожиданным, так как при среднем времени ускорения  $t \sim l/v_0 \approx 10^{-6} \text{ сек}$ . время полной разрядки батареи  $\theta$ , выполненной из стандартных промышленных конденсаторов с большим значением собственной индуктивности, порядка десятков микросекунд, и, естественно, эффективность использования тока при этом весьма мала.

Предпринятая нами попытка увеличить время взаимодействия густка с ускоряющим его током за счет наращивания длины ускорителя не привела к положительным результатам. Как показали измерения на 3-метровой модели ускорителя, скорость густка растет лишь в начале, на расстоянии 0,6–1,0 м, а затем, после насыщения, начинает медленно спадать. Проведенные нами калориметрические и зондовые измерения скорости энергетических потерь и диффузии в свободно движущемся густке показали, что причиной этого несколько неожиданного эффекта является радиальный распад густка, при котором частицы плазмы, сталкиваясь с электродами ус-

корителя, быстро теряют свою энергию. Эффект эквивалентен резкому увеличению диссипативных потерь в густке, компенсирующих, в конечном счете, работу, совершающую током. Одновременно с этим происходит интенсивный процесс охлаждения густка и ухудшения его проводимости, приводящий к аномально быстрому диффузионному расплыванию токового слоя, обнаруженному ранее в (3).

Время распада густка  $\tau$  может быть оценено как величина порядка  $\delta R/v_\perp$ , где  $\delta R$  — разность радиусов коаксиала,  $v_\perp \approx 10^4 \text{ м/сек}$  — поперечная составляющая скорости ионов в густке. Так как радиальная компонента температуры частиц в густке, обеспечивающая необходимое из условий сканирования значение проводимости плазмы, не может быть сделана меньше 10–20 эв, отсутствие методов предотвращения радиальной диффузии частиц в ускорителях рельсотронного типа принципиально ограничивает длительность процессов ускорения временами порядка  $10^{-6} \text{ сек}$ .

В связи с этим совместно с Вычислительным центром Сибирского отделения АН СССР была решена задача оптимизации параметров ускорителя, обеспечивающая минимальное время  $t_0$  передачи запасенной в конденсаторной батарее энергии густку. Выполненные на основании теории (4) численные расчеты показали, что при  $q = C^2 V_6^2 L_1^2 / 2m_0 L_0 \approx 12-20$  величина имеет минимум, равный примерно  $3/\omega_0$ , где  $L_1$  — погонная индуктивность электродов коаксиала,  $\omega_0 = 1/\sqrt{L_0 C}$ . Принимая время жизни густка равным  $10^{-6} \text{ сек.}$ , для собственного периода батареи питания ускорителя получаем весьма жесткое с технической точки зрения условие  $\omega_0 \leq 3 \cdot 10^6 \text{ сек}^{-1}$ , которое удовлетворяется лишь в лучших образцах конденсаторных батарей, применяемых в термоядерных исследованиях при изучении быстрых процессов в плазме. Обработка имеющихся в литературе данных показывает, что ни одна из ныне существующих установок по электродинамическому ускорению плазмы приведенным условиям не удовлетворяет ни одновременно, ни порознь.

В наших опытах при  $m_0 \approx 5 \mu\text{г}$   $q$  оптимально, однако  $\omega_0$  в 4 раза меньше предельно допустимого. В одной из наиболее совершенных современных установок (2)  $q \approx 0,1$ ,  $\omega_0$  меньше оптимального значения в 3 раза.

Авторы выражают благодарность Г. И. Будкеру за постоянный интерес к работе и ряд плодотворных дискуссий, В. Н. Лукьянову за помощь при проведении измерений и Ю. А. Березину за выполнение расчетов.

Поступило  
17 IX 1963

#### ЦИТИРОВАННАЯ ЛИТЕРАТУРА

- <sup>1</sup> В. Ф. Демичев, В. Д. Матюхин, ДАН, 150, 279 (1963). <sup>2</sup> D. M. Wettstone, Phys. Fluids, 5, 981 (1962). <sup>3</sup> L. C. Vugtschardt, R. H. Lovberg, Phys. Fluids, 5, 341 (1961). <sup>4</sup> Л. А. Арцимович, С. Ю. Лукьянов и др., ЖЭТФ, 33, 3 (1957). <sup>5</sup> Ю. С. Азовский, И. Г. Гужовский, Б. Г. Сафронов, В. А. Чураев, ЖТФ, 32, 1050 (1962). <sup>6</sup> Д. Г. Булыгинский, Б. В. Галактионов и др., ЖТФ, 33, 183 (1963). <sup>7</sup> Plasma Eater Measurer Flow, Nukloniks, 20, 58 (1962).

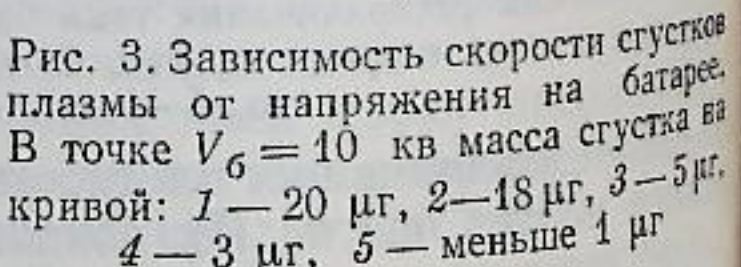


Рис. 3. Зависимость скорости густков плазмы от напряжения на батарее. В точке  $V_6 = 10$  кв масса густка на кривой: 1 – 20  $\mu\text{г}$ , 2 – 18  $\mu\text{г}$ , 3 – 5  $\mu\text{г}$ , 4 – 3  $\mu\text{г}$ , 5 – меньше 1  $\mu\text{г}$